

П. Е. КРАСНУШКИН

КАЧЕСТВЕННОЕ ИССЛЕДОВАНИЕ ТРАЕКТОРИЙ ЛУЧЕЙ  
РАДИОВОЛН В СЛОИСТОЙ СРЕДЕ МЕТОДОМ  
ФАЗОВЫХ ТРАЕКТОРИЙ

(Представлено академиком Л. И. Седовым 12 IV 1971)

1. Уравнения траекторий лучей электромагнитных волн частоты  $\omega = 2\pi f$  в неоднородной анизотропной среде можно записать в виде канонических уравнений Гамильттона для движения материальной точки

$$dx_i/dt = \partial H/\partial p_i; \quad dp_i/dt = -\partial H/\partial x_i, \quad i = 1, 2, 3. \quad (1)$$

Здесь  $H = \omega = cp/\mu$  — гамильтониан,  $x_i$  — координаты точки луча,  $t$  — время распространения фазы волны,  $c$  — скорость света в вакууме,  $\mu$  — коэффициент преломления (фазовый), зависящий от  $x_i$  и  $p_i$ ,  $p = \sqrt{p_1^2 + p_2^2 + p_3^2}$  — модуль волнового вектора  $\mathbf{p}$  с компонентами  $p_i$ , связанными с направляющими косинусами волновой нормали  $\mathbf{n}$ ;  $\cos \alpha_i = p_i/p$ .

Уравнения (1) являются частным случаем системы уравнений, исследуемых качественными методами в теории автономных динамических систем (<sup>1-3</sup>). Чтобы применить эти методы в данном случае, следует рассматривать на траектории лучей  $x_i(t - t_0, C_1, C_2, \dots, C_5)$  в трехмерном координатном пространстве, а фазовые траектории, представляемые движением точки  $P(t - t_0)$  в шестимерном пространстве координат и компонент волнового вектора (фазовое пространство). В силу консервативности системы (1) точка  $P$  движется по гиперповерхности  $H = \text{const}$ . Преимущество такого рассмотрения состоит в том, что фазовые траектории лучей, в отличие от самих траекторий лучей, нигде не пересекаются (если (1) не имеет особенностей), и качественное исследование в основном сводится к изучению особых точек «фазового портрета», координаты которых определяются из условий равенства нулю правых частей (1).

2. Мы применим качественную теорию динамических систем к случаю сферически-слоистой изотропной среды, изоморфному случаю нелинейной консервативной динамической системы с одной степенью свободы, хорошо изученному в теории колебаний (<sup>4</sup>). Для этого введем сферические координаты  $r, \theta, \varphi$  таким образом, чтобы  $\mu$  зависело только от  $r$ , а полярная ось  $\theta = 0$  проходила через начальную точку, в которой находится источник излучения. Тогда можно ограничиться рассмотрением лучей только в плоскости  $\varphi = \text{const}$ . Система (1) в этом случае примет вид

$$\frac{dr}{dS} = \cos \alpha, \quad \frac{d\theta}{dS} = \frac{\sin \alpha}{r}, \quad \frac{d\alpha}{dS} = -\sin \alpha \left( \frac{1}{r} + \frac{1}{\mu} \frac{\partial \mu}{\partial r} \right), \quad (2)$$

где  $dS = c dt/\mu$  — длина дуги луча,  $\alpha$  — угол между направлением луча и осью  $r$ . Координата  $\theta$  циклическая. Взяв ее за независимую переменную, получим из (2) систему двух уравнений, определяющих  $r(\theta)$  и  $\alpha(\theta)$

$$\frac{dr}{d\theta} = r \operatorname{ctg} \alpha, \quad \frac{d\alpha}{d\theta} = -r \left( \frac{1}{r} + \frac{1}{\mu} \frac{\partial \mu}{\partial r} \right). \quad (3)$$

Будем рассматривать решения  $r(\theta)$ ,  $\alpha(\theta)$  системы (3) как траектории в фазовом пространстве с координатами  $r$  и  $\alpha$ , образуемые движением точки  $P(r, \alpha)$  при изменении  $\theta$ . Для того чтобы  $P(\theta)$  представляла состояние си-

стемы (3) однозначно, введем цилиндрическую фазовую поверхность, например поверхность кругового цилиндра, направив  $r$  по образующей и принимая  $\alpha$  за угловую координату. В этом случае лучи, идущие под углом  $\alpha$  и  $\alpha + 2\pi m$  ( $m = 1, 2, 3, \dots$ ), неразличимы. Через две образующие  $\alpha = 0$  и  $\alpha = \pi$  фазовые траектории переходить не могут. Все лучи, соответствующие росту  $\theta$ , имеют фазовые траектории, лежащие на половине цилиндра  $0 < \alpha < \pi$ . Ограничимся рассмотрением этих траекторий, представляя половину цилиндра в виде полосы  $(0, \pi)$  плоскости.

Систему уравнений (3) можно записать в форме, аналогичной (1):

$$dr/d\theta = r \partial F / \partial \alpha, \quad d\alpha / d\theta = -r \partial F / \partial r; \quad (4)$$

$$F = \ln[r\mu(r)\sin\alpha] = \ln[r_0\mu(r_0)\sin\alpha_0] = \text{const}. \quad (5)$$

Это значит, что система (3) является пфаффовой и по топологическим свойствам подобна консервативной гамильтоновой системе с одной степенью свободы. Как известно (см., например, (\*)), на фазовых поверхностях таких систем могут быть особые точки только двух видов: типа центра и седла. Координаты этих точек определяются как корни уравнений

$$\operatorname{ctg} \alpha = 0; \quad \frac{1}{r} + \frac{1}{\mu} \frac{\partial \mu}{\partial r} = 0. \quad (6', 6'')$$

Согласно (6'), все особые точки лежат на прямых  $\alpha = \pi/2$  и  $3\pi/2$ . Их абсциссами  $r = r_0$  являются корни уравнений (6'').

Если отложить  $F$  (или  $r\mu(r)\sin\alpha$ ) по третьей декартовой координате  $z$ , то функция  $F(r, \alpha)$  будет поверхностью с максимумами в точках типа центра  $r_0 = r_{c1}$ , и с седловинами в точках типа седел  $r_0 = r_{c2}$ . Фазовые траектории образуются линиями пересечений этой поверхности с плоскостями  $F = F_0$ . Они сплошь заполняют полосу  $0 < \alpha < \pi$ . Таким образом, «фазовый портрет» уравнений (3) определяется функцией  $n(r) = r\mu$ , называемой модифицированным коэффициентом преломления. Если  $n(r)$  — гладкая функция, то центры совпадают с ее максимумами, а седла — с минимумами. На рис. 1а изображен случай  $n(r)$  с одним максимумом и двумя минимумами и на фазовой плоскости имеется одна точка типа центра и два седла  $r_0 = r_{c1}$  и  $r_0 = r_{c2}$ .

Используя (5), построим фазовые траектории для  $n(r)$  рис. 1а. В окрестности центра фазовые траектории имеют вид эллипсоподобных замкнутых кривых, а траектории лучей либируют относительно слоя  $r = r_{c1}$ . (На рис. 1б даны траектории лучей, вышедших из точки  $\bar{r} = r_{c1}$ .)

В окрестности седел  $r_0 = r_{c1}$  и  $r_0 = r_{c2}$  фазовые траектории имеют вид гипербол, разделенных особыми линиями — сепаратрисами. Для  $r_0 = r_{c1}$  в областях 3 и 5 (рис. 1а) существуют лучи, уходящие в бесконечность без пересечения слоя  $r = r_{c1}$ , а в областях 4 и 6 — лучи, уходящие в бесконечность, пересекающие слой  $r = r_{c1}$ . (На рис. 1в показаны лучи этих областей для точек излучения  $\bar{r}_1 = r_{c1} - \Delta r$  и  $\bar{r}_2 = r_{c1} + \Delta r$ .)

Особый интерес представляют замкнутые сепаратрисы, внутри которых существуют только замкнутые фазовые траектории, соответствующие либирующим лучам. Область фазовой плоскости  $(r, \alpha)$  внутри замкнутой сепаратрисы определяет волноводный канал в слоистой среде. Внутри этой области может содержаться нечетное число особых точек, причем седел на единицу меньше числа центров. Для простого канала (рис. 1) внутри замкнутой сепаратрисы  $A$  имеется только одна точка типа центра.

Чтобы излучатель возбудил канал, точка  $\bar{r}$  должна лежать внутри канала ( $r_{c2} < \bar{r} < r_s$ ). Угол  $\Delta\beta = \alpha_{s2} - \alpha_{s1}$  назовем углом захвата лучей волноводным каналом. Он зависит от положения точки  $\bar{r}$  и достигает максимума при  $\bar{r} = r_{c1}$ . Простой волноводный канал характеризуется двумя

параметрами: угловой шириной  $\Delta\beta_{\max}$  и линейной шириной  $\Delta r = |r_s - r_c|$ . Для симметричного канала

$$n(r) = n(r_0) - a(r - r_0)^2 + b(r - r_0)^4, \quad \Delta\beta_{\max} = 2a\sqrt{2b}, \quad \Delta r = 2\sqrt{a/(2b)}. \quad (7)$$

Каустики и фокальные точки лучей в волноводном канале определяются конфигурацией линий равных фаз (пунктир на рис. 1б), именно, зависимостью периода либрации  $\Delta\theta$  от угла выхода луча,  $\beta = 90^\circ - a$ , из точки  $\bar{r}$ . Для случая (7)  $\Delta\theta$  имеет экстремум при  $\beta = 0$  ( $\bar{r} = r_n$ ) равный  $1/\sqrt{2}a$ . Если угловая ширина канала меньше  $2\sqrt{0,6}$ , то  $\Delta\theta$  растет с увеличением  $\beta$ ; при  $\Delta\beta_{\max} > 2\sqrt{0,6}$   $\Delta\theta$  падает с ростом  $\beta$ . По терминологии

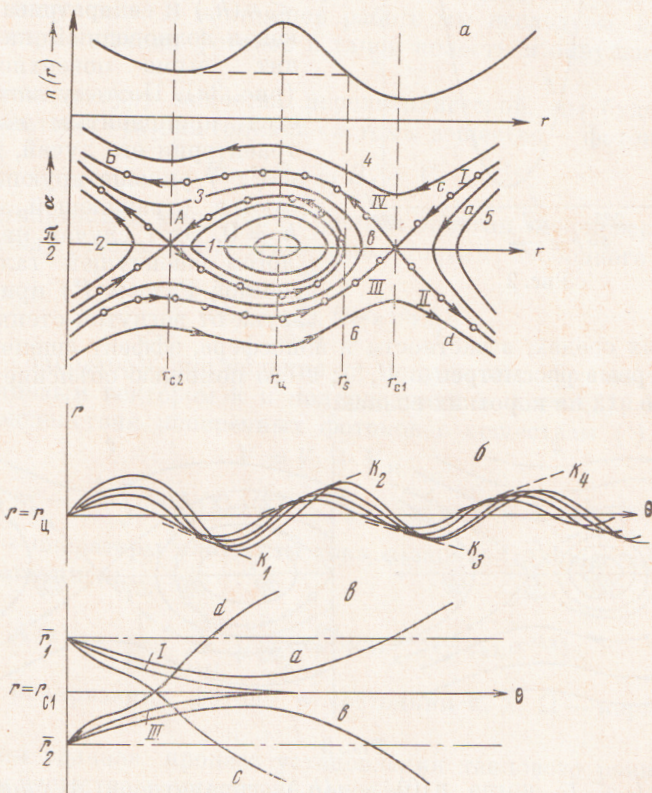


Рис. 1

В. М. Булдырева (5), в первом случае мы имеем дело со слабым волноводным каналом, во втором — с сильным. В слабом канале каустические линии, возникающие при  $\bar{r} = r_n$  на оси канала, с ростом  $\theta$  отходят от него, как показано на рис. 1б, в сильном канале — они сходятся к оси канала.

Если  $\Delta\theta$  не зависит от  $\beta$  (случай «изохронизма») возникают фокальные точки. Примером этого является линза Максвелла (6), для которой  $n(\rho) = n_0[\rho^{2k+1} + \rho^{-(2k+1)}]^{-1}$ ,  $\rho = r/a$  и  $k > 0$ ,  $r_n = a$ ,  $r_{c1} = 0$  и  $r_{c2} = \infty$ .

Если при  $r = r_p$  функция  $n(r)$  пересекает 0 и становится отрицательной или при  $r = r_p$  имеется разрыв  $n(r)$ , то на этом слое возникает отраженный луч. На фазовой плоскости этот факт представляется скачком траектории из точки  $(r_p = a)$  в точку  $(r_p, -a)$ .

3. В качестве примера с помощью формулы (5), которую мы запишем в виде  $n(r) \cos \beta = n(r_0) \cos \beta_0 = \text{const}$ , рассчитаем фазовые траектории для слоя плазмы с  $n = r\sqrt{1 - (N_e/(12,4f^2))}$  (электронная кон-

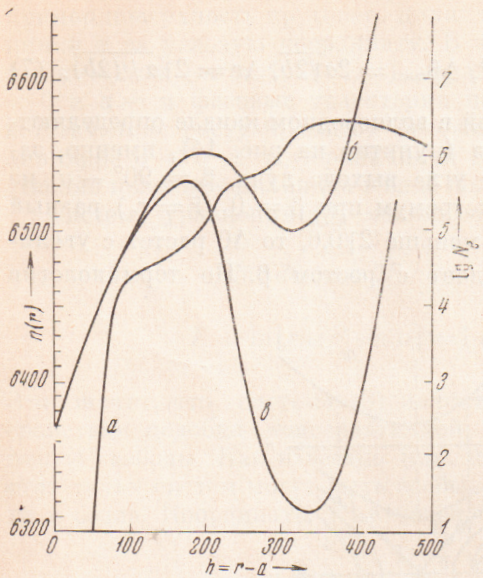


Рис. 2

центрация  $N_e$  дана на рис. 2) ограниченным резким слоем  $r = a$ .  $f_1 = 50$  МГц и  $f_2 = 35$  МГц (кривые  $b$  и  $a$ , рис. 2 соответственно). Заметим, что профиль  $N_e(h)$  ( $h = r - a$ ) имеет один максимум, обусловливающий в профиле  $n(h)$  минимум в седловой точке  $h = h_c$ . Максимум  $n(h)$  и связанная с ним точка типа центра  $h = h_c$  возникает только из-за сферичности слоев среды. В случае  $f = f_1 n(0) < n(h_c)$  и сепаратриса  $A$ , выделяющая волноводный канал, проходит выше поверхности  $h = 0$  (рис. 3а). Поэтому канал оказывается приподнятым над  $h = 0$  и траектории его лучей, называемые в <sup>(7, 8)</sup> рикошетирующими, не касаются отражающей поверхности  $h = 0$ . Этот случай является аналогом «шепчущей галереи», изученной Рэлеем <sup>(9)</sup> при отражении звука от вогнутой стенки.

В слоистых средах, в частности в ионосфере, эффект «шепчущей галереи» был впервые рассмотрен в <sup>(7, 8)</sup>; с его помощью объясняется эффект кругосветного эха на коротких волнах.

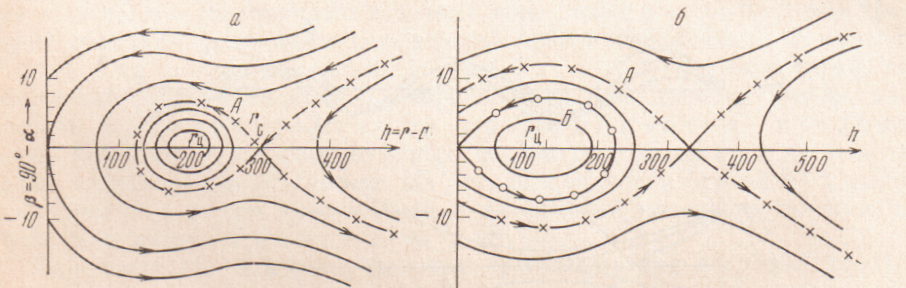


Рис. 3

Для  $f = f_2 < f_1$ , когда  $n(0) > n(h_c)$ , сепаратриса  $A$  пересекает поверхность  $h = 0$  (рис. 3б). Теперь внутри волноводного канала возможны два типа лучей: 1) рикошетирующие, с фазовыми траекториями внутри кривой  $B$ ; 2) лучи, испытывающие отражение от слоя  $h = 0$  и рефракцию в слоях, расположенных ниже седла  $h = h_c$ . При повышении частоты  $f$  волноводный канал исчезнет, когда седло сольется с центром.

Математический институт им. В. А. Стеклова  
Академии наук СССР  
Москва

Поступило  
31 III 1971

#### ЦИТИРОВАННАЯ ЛИТЕРАТУРА

- <sup>1</sup> А. Ренарж, *Les méthodes nouvelles de la mécanique céleste*, Paris, 1892—1899.
- <sup>2</sup> А. Пуанкаре, О кривых, определяемых дифференциальными уравнениями, 1947.
- <sup>3</sup> В. В. Немыцкий, В. В. Степанов, Качественная теория дифференциальных уравнений, 1947.
- <sup>4</sup> А. А. Андронов, А. А. Витт, С. Э. Хайкин, Теория колебаний, 1959.
- <sup>5</sup> В. С. Булдырев, Тр. Матем. инст. им. В. А. Стеклова АН СССР, 115 (1971).
- <sup>6</sup> W. Lenz, *Zur theorie der Optische abbildung*, Leipzig, 1928.
- <sup>7</sup> П. Е. Краснушкин, Метод нормальных волн в применении к проблеме дальних радиосвязей, М., 1947.
- <sup>8</sup> П. Е. Краснушкин, ЖТФ, 18, 4, 431 (1948).
- <sup>9</sup> Рэлей, Теория звука, 2, § 287, 1944.